

Mitteilungen des  
Arbeitskreises METEORE  
im Kulturbund der DDR  
Potsdam, den 28.10.86

Arbeitskreis Meteore

- Informationen für Beobachter

1.) Beobachtungsergebnisse September 1986 (Stand 25.10.86)

| Dt.              | T <sub>A</sub>  | T <sub>E</sub> | T <sub>M</sub> | T <sub>eff</sub> | m <sub>gr</sub> | n   | HR  | +   | -  | Beobachter |
|------------------|-----------------|----------------|----------------|------------------|-----------------|-----|-----|-----|----|------------|
| 62               | 2300+0030       | 2350           | 1.33           | 6.40             | 19              | 18  | 4.5 | 4.0 | 01 |            |
| 63               | 2022 2146 2161  | 1.30           | 7.07           | 27               | 14              |     | 2.7 |     | 89 |            |
| 63               | 2018 2158 2108  | 1.63           | 6.46           | 27               | 20              |     | 3.8 |     | 68 |            |
| 63               | 2025 2206 2112  | 1.58           | 6.40           | 22               | 17              | 4.0 | 3.5 |     | 01 |            |
| 65               | 2257+0031       | 2344           | 1.57           | 5.95             | 25              | 17  |     | 3.0 |    | 27,95      |
| 66               | -2245 0135 0040 | 1.06           | 6.75           | 23               | 17              |     | 3.5 |     | 17 |            |
| 69               | -2315 0345 0130 | 4.10           | 6.49           | 62               | 17              |     | 1.3 |     | 01 |            |
| 69               | 0156 0411 0303  | 2.20           | 6.46           | 40               | 24              |     | 2.4 |     | 68 |            |
| 69               | 2010 2246 2125  | 2.50           | 7.10           | 45               | 11              |     | 1.7 |     | 89 |            |
| 69               | 2030 2306 2145  | 2.50           | 6.50           | 30               | 13              |     | 2.5 |     | 01 |            |
| 69               | 2122 2222 2152  | 1.00           | 6.23           | 19               | 29              |     | 5.5 |     | 26 |            |
| 69               | 2150 2313 2232  | 1.20           | 6.71           | 27               | 17              |     | 3.0 |     | 17 |            |
| 70               | -2330 0339 0134 | 4.08           | 5.51           | 75               | 20              |     | 2.3 |     | 68 |            |
| 70               | 0213 0413 0313  | 2.00           | 6.33           | 28               | 19              |     | 2.5 |     | 01 |            |
| 71               | 0103 0303 0203  | 2.00           | 6.32           | 26               | 17              |     | 3.5 |     | 01 |            |
| 24               | 1917 2032 1955  | 1.25           | 6.39           | 20               | 26              | 5.0 | 4.0 |     | 68 |            |
| 24               | 1938 2142 2040  | 2.05           | 6.91           | 32               | 12              |     | 2.1 |     | 89 |            |
| 24               | 1952 2203 2048  | 2.50           | 6.30           | 31               | 17              |     | 3.0 |     | 01 |            |
| 25               | 1930 2206 2045  | 2.50           | 6.32           | 28               | 15              |     | 3.0 |     | 01 |            |
| 28               | 2058 2215 2126  | 1.27           | 5.82           | 12               | 23              | 7.0 | 6.0 |     | 26 |            |
| 30               | 1910 2240 2055  | 3.50           | 7.07           | 55               | 10              |     | 1.3 |     | 89 |            |
| 30               | 1940 2210 2055  | 2.50           | 6.26           | 28               | 16              |     | 3.0 |     | 01 |            |
| 30               | 2055 2228 2141  | 1.52           | 6.44           | 24               | 19              |     | 3.6 |     | 68 |            |
| 30               | 1900+0306 2300  | 7.83           | 6.52           | 150              | 19              |     | 1.5 |     | 46 |            |
| 29               | 2245 2321 2303  | 6.60           | 6.08           | 14               | 45              | 13  | 11  | 20  |    |            |
| Nachträge August |                 |                |                |                  |                 |     |     |     |    |            |
| 11               | -2230 0246 0035 | 4.00           | 5.50           | 38               | 46              | 6.5 |     | 39  | 3  |            |
| 11               | 2220+0125 2352  | 3.02           | 5.00           | 20               | 46              | 10  | 8   | 39  | 3  |            |

2.) Draconiden 1986 (J. Rendtel)

In der Nacht des angekündigten Draconiden-Maximums (vergl. MHP 2, S. 49). Oktober waren zahlreiche Beobachter aktiv. Jedoch waren die meteorelegischen Bedingungen nur im Norden günstig. Die geringe Bewölkung drang nur bis zum Norden des Bezirkes Potsdam vor. Südlich davon blieb es stark bewölkt oder bedeckt. Hier eine Übersicht über die bisher vorliegenden Berichte:

|           |                             |  |
|-----------|-----------------------------|--|
| O. Zuthen | Er. Wokern<br>(bei Teterow) | in knapp 3 Stunden bei sehr guter Sicht insgesamt 30 Meteor; Draconiden nicht bemerkt; nach 23 Uhr MHW zunehmend Nebel, Abbruch der Beobachtung. |
|-----------|-----------------------------|--|

Häufigkeiten des AKM, Nr. 74, Seite 2

2. Draconiden 1986 - erste Ergebnisse (Fortsetzung)

|   |                                 |   |
|---|---------------------------------|---|
| R. Koschack                             | Badfurt<br>(nördl. Berlin)      | bedeckt<br>Beobachtung unmöglich  |
| J. Rendtel                              | Potsdam                         |   |
| E. Müller,<br>J. Rendtel,<br>H. Wünsche | Golm<br>(bei Potsdam)           | nur wenige kleine Wolkenblätter,<br>bzw. dünne Wolken, trotz ständigen Kontrollblickes keine Beobachtung möglich  |
| F. Otto<br>T. Hahn                      | Potsdam<br>(Astrotron-Zentrum)  |   |
| Dr. H. Feuker                           | Dresden                         | zwischen 20 und 24 Uhr MEZ meteorscatter-Versuche, aber keine erhöhte Aktivität   |
| H. Bretschneider                        | Schneeburg                      | bedeckt<br>keine Beobachtung möglich  |
| S. Koszthelyi                           | Pécs, Ungarn                    | 1755-2055MEZ durchgehend beobachtet, zwischen 2055 und 0142MEZ alle 20 min für jeweils 2 min Kontrollbeobachtung. Rate kleiner 1, d.h. keine Draconidenaktivität. |
| D. Pfächer                              | Königswinter<br>(bei Bonn, BRD) | Beobachtung, aber keine Draconidenaktivität nicht festgestellt.   |

In der Nacht 9.-10. Oktober war verbreitet dunstiger Himmel. H. Bretschneider und J. Rendtel nahmen einige kurze Kontrollblicke vor. Es traten jedoch keine Draconiden auf. Sollten noch andere Informationen eintreffen, werden wir darüber berichten. Nach dem Stand der Beobachtungen muß man davon ausgehen, daß die Erde nicht den Bereich der Partikelwolke durchquert hat.

3. Hohe Meteoraktivität 20./21. November 1985  
(aus: Meteor News, Nr. 75, April 1986, S.6)

Zwei unabhängige Berichte über eine hohe Aktivität eines kleinen Stromes in der Nacht 20./21. Nov. 1985 erhielt die American Meteor Society.

Keith Baker (Nachassistent am Lick-Observatorium, Kalifornien) sah um 0300PST, Nord (=1100 UT) 13 Meteore in 7 Minuten. Ihre Helligkeiten betrugen +2...+4<sup>m</sup>; der Radiant lag nahe GM. Die Meteore waren alle schnell und ohne Schwanz.

Richard Dusoty (Capitole, Kalifornien) notierte folgende Meteorzahlen:

|                 |                |            |
|-----------------|----------------|------------|
| 0344 - 0345 PST | 1141 - 1145 UT | 27 Meteore |
| 0345 - 0349     | 1145 - 1149    | 5          |
| 0349 - 0353     | 1149 - 1153    | 2          |
| 0353 - 0357     | 1153 - 1157    | 2          |

Der Radiant lag bei RA = 100°, D = 7° (+ 5°).

Die hellsten Meteore waren GM = 2<sup>m</sup>; sie waren ziemlich schnell, nur wenig langsamer als die Leoniden.

In der nächsten Nacht 0315 - 0415 PST (=1115 - 1215UT) konnte nur noch ein mögliches Strommeteo gesehen werden.

In den kommenden Jahren sollte man am 21. November aufmerksam das entsprechende Meteorgebiet beobachten.

<sup>a)</sup> Nach Fertigstellung der Tabelle erreichte uns aus Wittenburg ein Ergebnis: 8 Beobachter bedeckte (vergl. vergangene meteorische Aktivität ohne Draconiden).

¶, Perseiden 1986 (J. Rendtel)

Teil 2 - Ergebnisse des AKM - Helligkeiten

Als Vortwort dazu eine Übersetzung aus TGR 14(1986), 95-102  
Perseiden 1985 (I): Persönliche Fehler von Helligkeitsschätzungen  
(P. Roggeman)

Zur Auswertung von Helligkeitsschätzungen können nur unabhängige Beobachtungen genutzt werden. In vielen Gruppen finden aber ständig Gespräche während der Beobachtung statt. Helligkeitsangaben, über die vor dem Notieren diskutiert wurde, sind für Vergleiche wertlos, auch wenn die Beobachter selbst eine Beeinflussung ausschließen.

In diesem Bericht wird untersucht, wie groß "Fehler" von visuellen Schätzungen sind und welche systematischen Fehler auftreten können.

Grafische Methode

Die Form der Helligkeitverteilungen (HV) verschiedener Beobachter zeigt keine merklichen Unterschiede. Die mittleren Helligkeiten liegen meist nahe beieinander. Gelegentlich treten deutlich bessere  $m_1$ -Werte auf. Dies kann durch schlechte Bedingungen oder systematische Überschätzungen verursacht sein. Auf jeden Fall führt dies zu einem verschwommenen Bild der Struktur eines Stromes.

Stellt man die HV als kumulative HV auf, so werden Unterschiede deutlicher sichtbar. Neben einer einfachen Verschiebung über den gesamten Helligkeitsbereich kann es auch zu einer Kippung (des etwa linearen Teils) gegenüber der Bezugs-HV kommen. Das bedeutet, daß die Fehlschätzung nicht über den ganzen Bereich mit dem gleichen Betrag erfolgt. Solche Untersuchungen wurden in früheren Jahren bereits gemacht (vgl. MM27) für AKM, J.R.) In der Beziehung  $m_1 = \gamma x m_0 + \alpha$  sind eine Referenzhelligkeit  $m_0$  und die beobachtete  $m_1$  sowie die Verschiebung  $\gamma$  und die Drehung  $\alpha$  enthalten. Wir verwendeten eine teilweise grafische Methode und bezogen nur den linearen Teil ein. Mittels zweier Punkte beider kumulativer HV wurden zwei Gleichungen aufgestellt:

$$m_{p1} = \gamma x m_{01} + \alpha_1 \quad \text{und} \quad m_{p2} = \gamma x m_{02} + \alpha_2$$

Die Werte  $\gamma$  und  $\alpha$  können zum Vergleich persönlicher HV benutzt werden. Ideal ist  $\gamma=1$  und  $\alpha=0$  zur Bezugs-HV. Wenn keine theoretische Bezugs-HV vorliegt, kann man auch je 2 beobachtete HV vergleichen. Die grafische Methode hat den Vorteil, einfach zu sein. Sie ermöglicht den Vergleich von HV, die zu verschiedenen Zeiten an verschiedenen Orten erhalten wurden. Jedoch beinhaltet die so bestimmten  $\gamma$  und  $\alpha$  außer den persönlichen Fehlern weitere Einflüsse, wie z.B. die Bedingungen und die tatsächliche Meteoropopulation.

Daher wurde für die 1985-er Perseiden ein anderer Weg eingeschlagen. Es ist wichtig, die Beobachtungsdaten sorgfältig zu analysieren um unsichere Daten auszusondern.

Vergleich individueller Helligkeitsschätzungen

Zu weiteren werden Helligkeitsschätzungen von mehreren Beobachtern zusammengefaßt und verglichen. Das sich während der Perseiden-Beobachtungen in Südfrankreich (Büd) angaben. So können jeweils 2 Sätze von Parallelbeobachtungen miteinander verglichen werden, und zwar sowohl nach Helligkeitsschätzungen als auch nach Stromrecoren.

Zunächst stellt man in einer Tabelle alle Doppelsichtungen der zu vergleichenden Beobachter zusammen. Daraus lassen sich zwei lineare Regressions berechnen (indem man jeweils eine Datenreihe auf die andere besiebt). Hinweise zur mathematischen Behandlung sie Anschluß).

4. Perseiden 1986 (Fortsetzung)

Weiterhin kann der Korrelationskoeffizient zwischen beiden Reihen sowie die Helligkeit berechnet werden, die von beiden (im Mittel) gleich geschätzt wird. Da beide Schätzungen mit Fehlern behaftet sind, muß eine orthogonale Regression benutzt werden (die beiden zuvor berechneten linearen Regressions können zur Einschätzung der oberen bzw. unteren Grenze der persönlichen Koeffizienten und herangezogen werden. Ihre Differenz repräsentiert die Streuung der Werte.). Die orthogonale Regression ist auch in den Abb. eingetragen. Der Korrelationskoeffizient ist ein weiterer Indikator für die Streuung der Helligkeitsschätzungen. Da keine exakten Grenzen dafür angebbar sind, schlagen wir folgende Interpretation der Ergebnisse vor:

|              |  |
|--------------|--|
| $k = 1$      | vollständige Übereinstimmung der Schätzungen                               |
| $k \geq 0.9$ | exzellentes Ergebnis, sehr selten  |
| $k \geq 0.8$ | gut, wahrscheinlich bei erfahrenen Beobachtern                             |
| $k \geq 0.7$ | brauchbar, aber merkliche Unterschiede mögl.                               |
| $k \geq 0.6$ | schlecht, merkliche Differenzen  |
| $k < 0.6$    | nicht akzeptabel, sollte aus weiteren Untersuchungen ausgeschlossen werden |

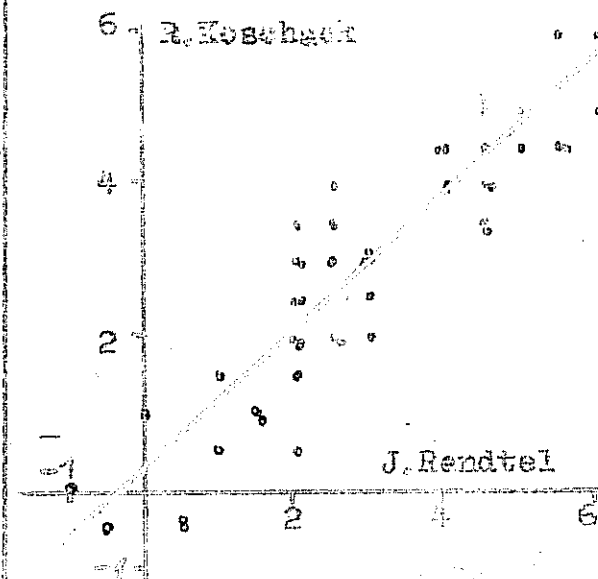
Durch wechselnde Kombinationen verschiedener Beobachterpaare stellt man schnell fest, wessen Ergebnisse für Unstimmigkeiten verantwortlich sind. Anfänger und ungeübte erreichen oftmals nicht mehr als  $k = 0.7$ .

Schlüssefolgerungen:

Im Gegensatz zur verbreiteten Meinung stellt sich heraus, daß sich Schätzfehler von Helligkeiten nicht einfach herausmitteln. Viele der Beobachter in Puimichel 1985, deren Daten analysiert wurden, hatten wenig Erfahrung, daher sind die Abweichungen recht groß. Aus früheren Untersuchungen fanden wir, daß weniger erfahrene Beobachter zur Überschätzung von Helligkeiten neigen. Wichtig für jeden neuen Beobachter ist es, seine persönliche Skala zu stabilisieren. Einige Beobachter gelangen zu HV, die wirklich von den "normalen" abweichen. HV, die zu stark vom mittleren Ergebnis abweichen, sollten aus Analysen ausgeschlossen werden.

Perseiden 1986

Zur Demonstration folgen einige Beispiele aus Beobachtungen in Schmernow 1986. In diese Abbildungen sind gleich die Ergebnisse der orthogonalen Regression eingefügt und die Korrelationskoeffizienten angegeben. Die hier verglichenen Beobachter verfügen alle über gute Erfahrungen und beobachten regelmäßig. Werte von wenig geübten oder länger pausierenden Beobachtern sind auf diese Weise bisher noch nicht berechnet worden.



R. Koschack - J. Rendtel  
1986 August 03-04

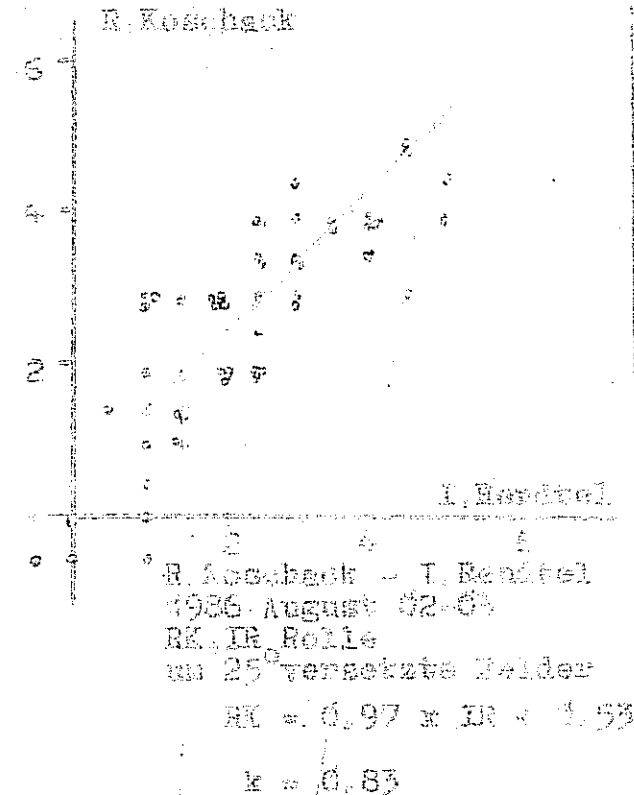
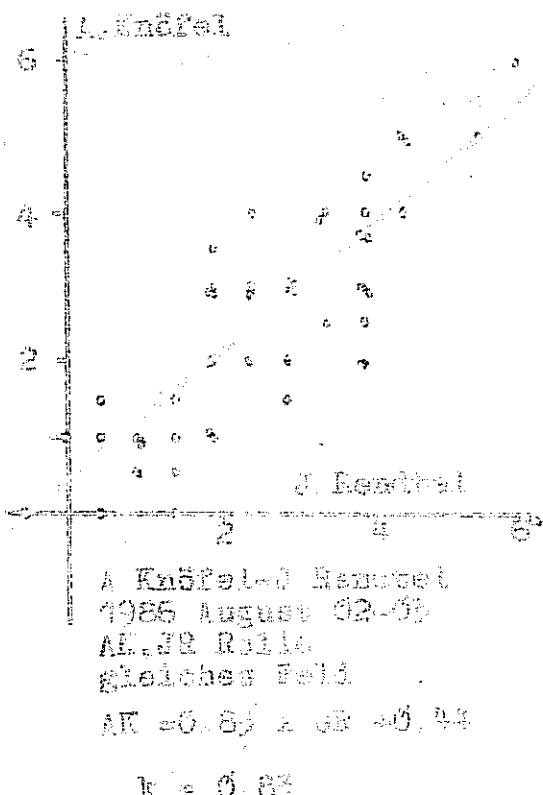
RK Rolle  
JR Karte 11 und 12  
etwa gleiche Richtung

$$RK = JR \times 0.91 + 0.26$$

$$k = 0.91$$

Mitteilungen des AKW, Nr. 74, Seite 5 von

#### 4. Perseidum 1936 (Fall 2B)



Für Beispiel 1 (Grafik S. 4) ist hier die Meteorliste angegeben:

|       |       |       |       |
|-------|-------|-------|-------|
| କୁଳାଳ | କୁଳାଳ | କୁଳାଳ | କୁଳାଳ |
| କୁଳାଳ | କୁଳାଳ | କୁଳାଳ | କୁଳାଳ |
| କୁଳାଳ | କୁଳାଳ | କୁଳାଳ | କୁଳାଳ |
| କୁଳାଳ | କୁଳାଳ | କୁଳାଳ | କୁଳାଳ |
| କୁଳାଳ | କୁଳାଳ | କୁଳାଳ | କୁଳାଳ |

Hieraus kann man auch entnehmen, daß in 84% der Doppelregressionsrechnungen die Schätzverteilung übereinstimmt. Die auf S. 4 angegebene Regressionsgleichung erlaubt es auch, die (im Mittel) entsprechende Schätzabweichung zu nennen:

Aus solchen Reihen sind mehr Informationen ableitbar als aus den früheren Vergleichen (Tafelzahlen 1 und 2), die auch auf eine Gesamtdeckung beruhen, die durch verschiedene Effekte sowohl quantitativen als auch objektive Unterschiede entstehen könnte.

Mitteilungen des AKM, Nr. 74, Seite 6

Zur Berechnung der Regressionsgeraden  
(vgl. z.B. Kleine Enzyklopädie Mathematik)

Meßwerte sind stets mit Unsicherheiten behaftet. Trägt man sie in ein Diagramm ein, erkennt man (weist) den Zusammenhang zwischen zwei Größen  $x$  und  $y$ , der im einfachsten Fall linear ist. Eine nur "gefühlsmäßig" durch eine Punktfolge gelegte Gerade kann jedoch nur eine Abschätzung sein. Eine Ausgleichsgerade läßt sich nach einem mathematischen Verfahren berechnen, das die bestmögliche Anpassung erreicht. Die Methode der Kleinsten (Fehler-)Quadrate geht davon aus, daß die Summe der Fehlerquadrate minimal wird.

Kurzbeschreibung des Verfahrens:

1. Aufstellen einer Tabelle der Meßwerte  $x_i$ ,  $y_i$  (hier: Helligkeitsabschätzungen der 2 Beobachter; S. 5)
2. Berechnung der Ausgleichsgeraden  $y = a + x \cdot b$  ( $y$  wird auf  $x$  bezogen; es wird davon ausgegangen, daß  $y$  die mit Unsicherheit behaftete Meßgröße ist.)

In den folgenden Formeln wird von der Gaußschen Summenreihenweise Gebrauch gemacht:

$$\sum_{i=1}^N x_i = [x] \quad \text{bzw.} \quad \sum_{i=1}^N (x_i - \bar{x}) = [x]$$

$N$  ist die Zahl der Wertepaare.

Anstieg der Ausgleichsgeraden:

$$b = ([x] \cdot [y] - [x] \cdot [y]) / ([x] \cdot [x] - [x] \cdot [x])$$

3. In unserem Beispiel sind beide Schätzungen mit (etwa) denselben Fehler behaftet. Daher wird eine zweite Regression berechnet, diesmal  $x$  und  $y$  vertauscht bzw.  $x = a + y \cdot b$
4. Beide Geraden weisen eine gewisse Scherung auf, die ein Maß für die Strenge des Zusammenhangs ist. Dies wird durch den Korrelationskoeffizienten  $k$  (häufig auch  $r_{xy}$ ) angegeben.  $k$  liegt zwischen +1 (starker direkter Zusammenhang) und -1 (indirekter Zusammenhang);  $k=0$  bedeutet, daß keine Korrelation besteht.

In der folgenden Formel steht  $\Sigma$  für  $\sum_{i=1}^N$ .

$$k = \frac{\sum (x_i - \bar{x}) \cdot (y_i - \bar{y})}{\sqrt{\sum (x_i - \bar{x})^2 \cdot \sum (y_i - \bar{y})^2}}$$

5. Die orthogonale Regression gibt die in der Mitte der Schere liegende Regressionsgerade an.

Hinweis: Für die Fotografie in Zusammenhang mit den Gamma-Blitzen (MM 65; S. 5-6) wird das Feld Nr. 5 empfohlen.  
(22° 52' ; -2° 5')

Alle evtl. noch nicht mitgeteilten Beobachtungen zu den Origniden 1985 sollten umgehend eingeschickt werden; bitte auch an die Mitteilung der geforderten Daten für die IHW-Meldebögen denken!